

◆ 专论

Real-time three-dimensional transesophageal echocardiography in diagnosis of mitral papillary muscle rupture

LI Yanan¹, CUI Cunying¹, LIU Yuanyuan¹, WANG Ying¹, HU Yanbin¹,
LIU Ruijie¹, GE Zhenwei², ZHAO Ziniu², LIU Lin^{1*}

(1. Department of Ultrasound, 2. Department of Cardiology, Henan Province People's Hospital, Fuwai Central China Cardiovascular Hospital, People's Hospital of Zhengzhou University, Zhengzhou 450003, China)

[Abstract] **Objective** To investigate the application value of real-time three-dimensional transesophageal echocardiography (RT-3D-TEE) for diagnosing mitral papillary muscle rupture (PMR). **Methods** Totally 35 patients with suspected PMR were enrolled. The mitral valve lesion and whether the lesion associated with PMR were evaluated with transthoracic echocardiography (TTE) and RT-3D-TEE preoperation. Taken surgical results as gold standards, the efficacy of preoperative RT-3D-TEE and TTE in diagnosis of mitral PMR were calculated. **Results** PMR was confirmed in 25 cases by cardiac surgery, including 23 cases of posteromedial PMR and 2 cases of anterolateral PMR, while complete PMR was observed in 1 case and partial PMR in 24 cases. Mitral valve replacement was performed in 23 patients, while mitral valve repairment was performed in 2 patients. Ten cases were found without mitral PMR. Preoperation RT-3D-TEE and TTE diagnosed 23 and 20 cases of PMR, respectively. The compliance rate with surgical findings were statistical different between RT-3D-TEE (92.00% [23/25]) and TTE (80.00% [20/25]; P=0.033). The sensitivity, specificity, accuracy, positive predictive value, negative predictive value and Youden index of RT-3D-TEE in preoperative diagnosis of PMR was 92.00% (23/25), 100% (10/10), 94.29% (33/35), 100% (23/23), 83.33% (10/12) and 0.92, which of TTE was 80.00% (20/25), 90.00% (9/10), 82.86% (29/35), 95.24% (20/21), 64.29% (9/14) and 0.70, respectively. **Conclusion** RT-3D-TEE can accurately depict ultrasonic features of mitral valve anatomy and pathology from different angles and viewpoints, which is an effective method for confirming mitral PMR and providing reliable information for preoperative diagnosis, intraoperative monitoring and postoperative evaluation of PMR.

[Keywords] mitral valve; papillary muscles; echocardiography, three-dimensional

DOI:10.13929/j.1003-3289.201903083

实时三维经食管超声心动图诊断二尖瓣乳头肌断裂

李亚南¹, 崔存英¹, 刘园园¹, 王莹¹, 胡彦斌¹, 刘瑞杰¹, 葛振伟², 赵子牛², 刘琳^{1*}

(1. 河南省人民医院 阜外华中心血管病医院 郑州大学人民医院超声科, 2. 心外科, 河南 郑州 450003)

[摘要] **目的** 探讨实时三维经食管超声心动图(RT-3D-TEE)诊断二尖瓣乳头肌断裂(PMR)的临床价值。**方法** 回顾性分析35例疑诊二尖瓣PMR患者,术前以经胸超声心动图(TTE)及RT-3D-TEE观察二尖瓣病变情况及是否合并PMR。以手术结果为金标准,计算术前RT-3D-TEE和TTE诊断二尖瓣PMR的效能。**结果** 35例中,25例术中证实为二尖瓣PMR,包括前外侧PMR 2例,后内侧PMR 23例;完全型PMR 1例,部分型PMR 24例。10例为非二尖瓣PMR。对23例行二尖瓣位人工瓣膜置换术,2例行二尖瓣成形术。术前RT-3D-TEE诊断二尖瓣PMR 23例,TTE诊断PMR 20

[基金项目] 河南省医学科技攻关计划项目(2018020452, 201602173)。

[第一作者] 李亚南(1986—),女,河南驻马店人,硕士,主治医师。研究方向:心血管疾病超声诊断。E-mail: 463261283@qq.com

[通信作者] 刘琳,河南省人民医院 阜外华中心血管病医院 郑州大学人民医院超声科,450003。E-mail: liulin_819@126.com

[收稿日期] 2019-03-12 **[修回日期]** 2019-07-25

例,RT-3D-TEE诊断二尖瓣PMR符合率[92.00%(23/25)]高于TTE[80.00%(20/25), $P=0.033$]。RT-3D-TEE诊断PMR的敏感度、特异度、准确率、阳性预测值、阴性预测值和约登指数分别为92.00%(23/25)、100%(10/10)、94.29%(33/35)、100%(23/23)、83.33%(10/12)和0.92;术前TTE诊断二尖瓣PMR的敏感度、特异度、准确率、阳性预测值、阴性预测值及约登指数分别为80.00%(20/25)、90.00%(9/10)、82.86%(29/35)、95.24%(20/21)、64.29%(9/14)及0.70。

结论 RT-3D-TEE可从不同角度和层面准确提供二尖瓣解剖及病理改变的超声特征,是确诊二尖瓣PMR的有效方法,可为术前诊断、术中监测及术后评估提供可靠信息。

[关键词] 二尖瓣;乳头肌;超声心动描记术,三维

[中图分类号] R542.5; R540.45 [文献标识码] A [文章编号] 1003-3289(2019)09-1287-04

二尖瓣乳头肌断裂(papillary muscle rupture, PMR)常引起二尖瓣脱垂,造成急性二尖瓣大量反流,使左心前负荷增加,导致肺静脉回流受阻和急性肺水肿,是急性心肌梗死最严重的并发症之一,若治疗不及时,患者死亡率高达80%,及时明确诊断和治疗可使死亡率降至25%^[1]。本研究以外科手术结果为金标准,探讨实时三维经食管超声心动图(real-time three-dimensional transesophageal echocardiography, RT-3D-TEE)诊断二尖瓣PMR的临床价值。

1 资料与方法

1.1 一般资料 选择2013年8月—2018年12月我院35例临床疑诊二尖瓣PMR、术前、术中及术后资料完整患者,男19例,女16例,年龄42~72岁,平均(52.4±6.1)岁;体表面积(1.69±0.77)m²,心率(70.63±5.42)次/分,收缩压(118.33±9.42)mmHg,舒张压(77.48±7.66)mmHg,NT-脑钠肽(3 533.49±1 012.22)pg/ml;其中4例二尖瓣中度反流,31例二尖瓣重度反流;病因包括急性心肌梗死33例,外伤1例,感染性心内膜炎1例。患者均签署知情同意书。

1.2 仪器与方法 采用Philips IE Elite彩色多普勒超声诊断仪,X7-2T经食管三维超声探头,频率4~7MHz;X5-1矩阵探头,频率2~5MHz;配备Qlab分析软件。GE E95彩色多普勒超声诊断仪,6VT经食管三维超声探头,频率4~7MHz;M5Sc-D心脏探头,频率1.7~3.3MHz;配备MVQ分析软件。

经胸超声心动图(transthoracic echocardiography, TTE)检查:嘱患者左侧卧,连接心电图,观察二尖瓣病变情况及是否合并PMR,记录二尖瓣反流程度(轻度反流:反流面积/左心房面积<20%;中度反流:20%≤反流面积/左心房面积<40%;重度反流:反流面积/左心房面积≥40%),并评估心脏整体功能、观察各室壁运动情况、有无合并其他心内畸形等,以初步确定手术方式,排除手术禁忌证。

RT-3D-TEE检查:手术当日由麻醉医师协助插

管,于建立麻醉后体外循环前行RT-3D-TEE检查。连接心电图,将食管探头插入,深度距门齿30~40cm。于食管中段120°左心室长轴切面清晰显示二尖瓣,利用二维图像选择ROI,调节增益、对比度、取样框大小和位置,将二尖瓣置于取样框内,启动RT-3D-TEE,适当旋转二尖瓣三维图像,使主动脉位于屏幕正前方,显示并存储二尖瓣的“外科手术视野观”超声动态图像。完成瓣膜修复或受损瓣膜置换术后即刻,采用RT-3D-TEE评估手术疗效,通过彩色多普勒显示反流程度评价手术效果,判断置换的人工瓣膜瓣叶功能,是否卡瓣、有无瓣周漏等。

由1名有2年以上术中TEE检查经验的超声主治医师完成所有TTE和RT-3D-TEE检查。

1.3 统计学分析 采用SPSS 18.0统计分析软件。计量资料以 $\bar{x}\pm s$ 表示。以手术结果为金标准,计算术前RT-3D-TEE和TTE诊断二尖瓣PMR的敏感度、特异度、漏诊率、误诊率、准确率、阳性预测值、阴性预测值和约登指数;对术前RT-3D-TEE和TTE诊断二尖瓣PMR与手术结果的一致性采用Kappa检验,Kappa<0.40为一致性差,0.40≤Kappa≤0.75为一致性中等,Kappa>0.75为一致性好。采用McNemar's检验比较RT-3D-TEE和TTE诊断二尖瓣PMR的符合率。 $P<0.05$ 为差异有统计学意义。

2 结果

35例中,25例术中证实为二尖瓣PMR,其中前外侧PMR 2例,后内侧PMR 23例;完全型PMR 1例,部分型PMR 24例。10例为非二尖瓣PMR。对23例PMR行二尖瓣位人工瓣膜置换术,2例行二尖瓣成形术;对22例同期行冠状动脉搭桥术,19例同期行三尖瓣成形术。RT-3D-TEE术前漏诊2例部分型PMR,术后即刻RT-3D-TEE发现2例人工瓣膜周漏。

术前RT-3D-TEE诊断二尖瓣PMR 23例,TTE诊断PMR 20例,RT-3D-TEE诊断二尖瓣PMR符合率[92.00%(23/25)]与TTE[80.00%(20/25)]比较差异有统计学意义($P=0.033$)。

术前 RT-3D-TEE 诊断 PMR 的敏感度、特异度、准确率、阳性预测值、阴性预测值及约登指数分别为 92.00% (23/25)、100% (10/10)、94.29% (33/35)、100% (23/23)、83.33% (10/12) 和 0.92,且与手术结果的一致性好 ($Kappa=0.868$)；术前 TTE 诊断二尖瓣 PMR 的敏感度、特异度、准确率、阳性预测值、阴性预测值和约登指数分别为 80.00% (20/25)、90.00% (9/10)、82.86% (29/35)、95.24% (20/21)、64.29% (9/14) 及 0.70,与手术结果的一致性中等 ($Kappa=0.625$)。术前 RT-3D-TEE 诊断 PMR 的漏诊率、误诊率分别为 8.00% (2/25)、0, TTE 为 20.00% (5/25)、10.00% (1/10)。

二尖瓣 PMR 的 RT-3D-TEE 表现：收缩期局部二尖瓣叶脱垂，向左心房侧膨出，导致二尖瓣关闭时对合错位；二尖瓣中度或重度偏心性反流，反流束沿对侧二尖瓣叶走行；脱垂二尖瓣叶瓣下腱索与异常低回声团块相连，后者边界清晰，形态不规则，回声与乳头肌相似，受累瓣下腱索及断裂乳头肌于左心房、左心室之间呈连枷样运动，收缩期位于左心房侧；见图 1、2。

3 讨论

PMR 是一种少见但致死率较高的心脏急症，在急性心肌梗死患者中发病率约 0.25%，若治疗不及时，患者死亡率高达 80%，早期诊断并行外科手术治疗是改善预后和降低死亡率的关键^[2]。超声心动图能够快捷、方便、直观地显示心脏内部结构和功能，在早期诊断急性心肌梗死、评估严重程度和诊断缺血性二尖瓣反流中有重要作用^[3]。RT-3D-TEE 克服了经胸二维及三维超声心动图受体位、肺气、肥胖及胸廓畸形等因素的限制和干扰，可清晰显示二尖瓣的“外科手术视野观”，获取图像简单、可重复性好，能够更好地准确判断心脏疾病^[4-6]。

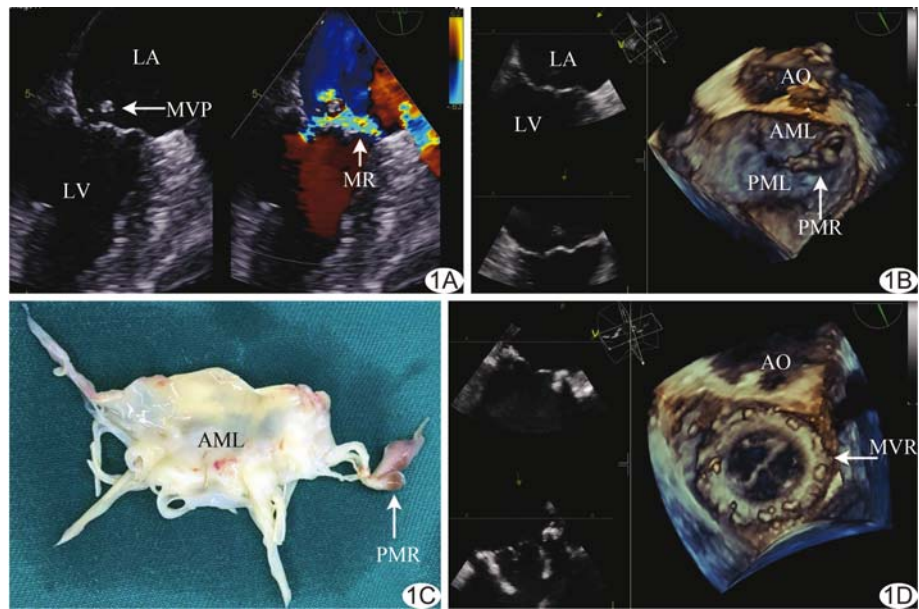


图 1 患者男,52岁,二尖瓣后内侧乳头肌部分断裂 A. 常规 TEE 二维及彩色多普勒显示收缩期二尖瓣前叶脱入左心房侧(长箭示脱垂的二尖瓣前叶),二尖瓣房侧探及大量偏心性反流信号(短箭); B. RT-3D-TEE 示收缩期乳头肌部分断裂脱入左心房内(箭示部分断裂乳头肌); C. 术中病理示二尖瓣前叶及相连的部分断裂的后内侧乳头肌(箭示部分断裂的乳头肌); D. RT-3D-TEE 示置换术后的二尖瓣位人工瓣(箭)形态正常,位置固定,功能良好 (LA: 左心房; LV: 左心室; MVP: 二尖瓣脱垂; MR: 二尖瓣反流; AO: 主动脉; AML: 二尖瓣前叶; PML: 二尖瓣后叶; PMR: 后内侧乳头肌断裂; MVR: 二尖瓣人工瓣)

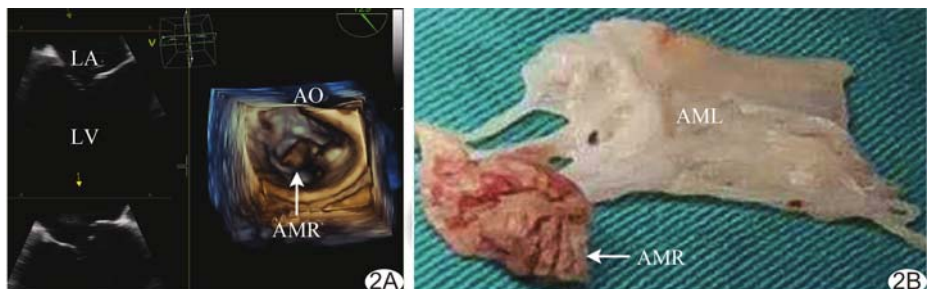


图 2 患者男,58岁,二尖瓣前外侧乳头肌完全断裂 A. RT-3D-TEE 示收缩期二尖瓣前外侧乳头肌完全断裂脱入左心房内(箭示完全断裂的前外侧乳头肌); B. 大体病理示二尖瓣前叶及相连的前外侧乳头肌(箭示完全断裂的乳头肌) (LA: 左心房; LV: 左心室; AO: 主动脉; AMR: 前外侧乳头肌断裂; AML: 二尖瓣前叶)

既往有学者^[7]观察二尖瓣反流严重程度及病因，发现 TEE 确诊二尖瓣腱索断裂的敏感度(74%)高于 TTE (44% ; $P=0.006$)。乳头肌与二尖瓣瓣下腱索相连，因而 PMR 常被 TTE 漏诊或误诊为腱索断裂。TTE 诊断二尖瓣 PMR 的影响因素包括断裂乳头肌范围、瓣膜病变位置及程度、图像质量及操作者技术等^[8-9]。断裂的乳头肌片段长度一般为 0.2~2.0 cm, TTE 所示断裂乳头肌与相连的腱索回声相似。Murad 等^[10]报道 2 例 PMR, TTE 仅显示重度二尖瓣关闭不全伴二尖瓣局部

腱索断裂,TEE发现后内侧乳头肌部分断裂,并经外科手术证实。PMR引起的二尖瓣叶连枷样运动可累及一个或多个小叶,累及前外侧和后内侧交界区时,约2/3病变二尖瓣叶被TTE漏诊^[11]。本研究术前RT-3D-TEE示受累瓣下腱索及断裂乳头肌于左心房、左心室之间呈连枷样运动,收缩期位于左心房侧。RT-3D-TEE不仅能准确定位瓣膜受累区域及PMR位置,显示交界区病变瓣叶更明显优于TTE,同时还能为外科医师提供清晰的二尖瓣立体结构图像,使开胸前诊断更为精确^[12]。

TTE被认为是PMR的首选诊断方法,具有无创、方便、快捷等优点,其诊断二尖瓣PMR的敏感度为65%~85%,而TEE的敏感度为95%~100%^[13]。本研究对比RT-3D-TEE和TTE诊断二尖瓣PMR,并与手术结果比较,发现术前RT-3D-TEE诊断PMR的符合率(92.00%)高于TTE(80.00%),差异有统计学意义($P=0.033$)。术前RT-3D-TEE诊断PMR的敏感度、特异度、准确率、阳性预测值、阴性预测值及约登指数分别为92.00%、100%、94.29%、100%、83.33%及0.92,TTE分别为80.00%、90.00%、82.86%、95.24%、64.29%及0.70;术前RT-3D-TEE诊断PMR的漏诊率、误诊率分别为8.00%、0,TTE为20.00%、10.00%,与既往研究^[14]结果相符。本组RT-3D-TEE术前漏诊2例部分型PMR,术中显示其中1例PMR断裂长度较小,约0.2cm,与二尖瓣腱索回声相似;另1例断裂乳头肌发生炎性改变,与正常乳头肌粘连,TTE及RT-3D-TEE均未发现二尖瓣叶连枷样运动。本组23例PMR患者接受人工瓣膜置换术,2例接受二尖瓣成形术,提示一旦确诊PMR,很难进行瓣膜成形术,主要因为在二尖瓣装置中,乳头肌-二尖瓣环完整、连续对维持左心室功能有重要作用,一旦发生PMR,常难以实施瓣膜成形术,而瓣膜置换术有助于降低患者远期死亡率及心力衰竭发生率^[15]。二尖瓣人工瓣膜置换术后需以RT-3D-TEE了解瓣膜功能情况及有无瓣周漏,本组发现2例人工瓣瓣周漏,可指导手术医师及时处理而避免二次手术。

本研究的局限性:病例数相对较少,可能存在偏倚,有待后期加大样本进一步分析。

综上所述,RT-3D-TEE可从不同角度和层面提供二尖瓣解剖及病理改变特征等信息,可准确诊断PMR的范围、部位,与手术结果的一致性较好,为患者术前诊断PMR、术中监测及术后评估提供可靠信息。

参考文献

- [1] Russo A, Suri R, Grigioni F, et al. Clinical outcome after surgical correction of mitral regurgitation due to papillary muscle rupture. Circulation, 2008, 118(15):1528-1534.
- [2] Braun CT, Ricklin ME, Exadaktylos AK. The difficult diagnosis of ischaemic papillary muscle rupture: Case report from an urban emergency department. Sultan Qaboos Univ Med J, 2016, 16(2): e234-e237.
- [3] Sun X, Jiang Y, Huang G, et al. Three-dimensional mitral valve structure in predicting moderate ischemic mitral regurgitation improvement after coronary artery bypass grafting. J Thorac Cardiovasc Surg, 2019, 157(5):1795-1803.e2.
- [4] Weisenberg D, Sagie A, Vaturi M, et al. The value of intraoperative transesophageal echocardiography in patients undergoing aortic valve replacement. J Heart Valve Dis, 2011, 20(5):540-544.
- [5] 周文艳,陈昕,杨军,等.实时三维经食管超声心动图定量分析正常二尖瓣立体结构动态的变化.中国医学影像技术,2014,30(12):1814-1817.
- [6] Yamazaki M, Fukui T, Mahara K, et al. Complete rupture of the anterolateral papillary muscle caused by coronary spasm. Interact Cardiovasc Thorac Surg, 2015, 21(6):798-800.
- [7] Minami T, Kawano H, Yamachika S, et al. Comparison of the diagnostic power of transthoracic and transesophageal echocardiography to detect ruptured chordae tendineae. Int Heart J, 2012, 53(4):225-229.
- [8] Tsujimoto M, Tanaka H, Matsumoto K, et al. Partial posteromedial papillary muscle rupture caused by myocardial ischemia only without myocardial infarction. Echocardiography, 2016, 33(7):1105-1107.
- [9] Ternus BW, Mankad S, Edwards WD, et al. Clinical presentation and echocardiographic diagnosis of postinfarction papillary muscle rupture: A review of 22 cases. Echocardiography, 2017, 34(7):973-977.
- [10] Murad K, Missov E. Papillary muscle rupture following non-ST-elevation myocardial infarction: A case report. Echocardiography, 2016, 33(6):923-925.
- [11] Harari R, Bansal P, Yatskar L, et al. Papillary muscle rupture following acute myocardial infarction: Anatomic, echocardiographic, and surgical insights. Echocardiography, 2017, 34(11):1702-1707.
- [12] 许立龙,赵博文,李世岩,等.实时三维经食管超声心动图在感染性心内膜炎外科手术治疗中的应用价值.中华超声影像学杂志,2013,22(1):21-24.
- [13] Monin JL, Dehant P, Roiron C, et al. Functional assessment of mitral regurgitation by transthoracic echocardiography using standardized imaging planes diagnostic accuracy and outcome implications. J Am Coll Cardiol, 2005, 46(2):302-309.
- [14] Havins J, Lick S, Boor P, et al. Real time three-dimensional transesophageal echocardiography in partial posteromedial papillary muscle rupture. Echocardiography, 2013, 30(6):E179-E181.
- [15] Russo A, Suri RM, Grigioni F, et al. Clinical outcome after surgical correction of mitral regurgitation due to papillary muscle rupture. Circulation, 2008, 118(15):1528-1534.